

太径異形鉄筋(D 51)のスリープ継手の引張強度

住友金属 正会員 士 穎 秀
住友金属 正会員 ○ 白川 潔

1. 緒 言

細径鉄筋の場合には付着力を利用した重ね継手が用いられている。これに対し 29ϕ 以上 の異形鉄筋にはガス圧接、溶接などの冶金的接合法が用いられるのが一般的である。しかしながらガス圧接継手はプレハブ化された鉄筋同志をつなぐには施工上にやや難点がある。本報告はプレハブにも利用できる機械的継手として鋼管の塑性加工を利用してスリープ継手を試作し、この静的引張強度を検討したものである。すなわち、強度上必要なスリープ長とその断面積、およびスリープと鉄筋との間のすべりの有無などを検討した。

2. 継手の製作

鉄筋はスミバー D 51 を、スリープは $85\phi \times 10t$ (熱間用)、 $90\phi \times 14t$ (冷間用) を使用した。その機械的性質を表-1に示す。

2.1. 熱間加工の場合：加熱炉内でスリープを約 1100°C に 20 分程度保温した後、とり出して加圧治具上に置き、鉄筋をスリープに挿入する。最後に加圧治具を介してプレスによりスリープを鉄筋に押しつける(図-1(1))。

スリープの熱伝達による温度低下を防ぐため、石綿をスリープと治具との間に挿入した。

2.2. 冷間加工の場合：熱間との相異は、スリープを常温で塑性加工させることと、加圧方法としてスリープ全体を一度に押しつけるのではなく図-1(2)に示す治具を用い、局部的に数回にわけて行ない加圧力を小さくした点である。

2.3. 製作結果：継手の加圧部におけるスリープ内面と鉄筋表面の密着状態を写真-1に示す。加圧前後の寸法測定結果より下記のことが明らかになった。

(1). 熱間加工の場合：加圧力を制御しなかったためスリープ長が短かいほど単位面積当たりの力が高くなり、加圧部の肉厚も 6.0 mm と薄くなっている。この結果、後述する継手の破壊強度はスリープ長が短かいほど低くなっている。なお加圧部の密着状態は冷間の場合とほぼ同様にスリープとフジが充分かみ合っており、スリープには有害な割れは発生しなかった。

(2). 冷間加工の場合：加圧部のスリープ肉厚は $2.5 \sim 3.3\text{ mm}$ 薄くなつておらず、スリープとフジとは写真に示すように充分かみ合っていた。なお、熱間、冷間とも加圧は一方向のみであるため、加圧方向と直交する断面でのかみ合いは不充分であった。

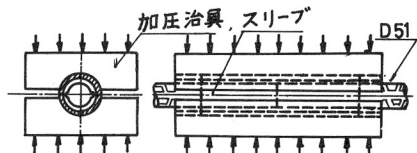


図-1(1). 热間加工の加圧方法

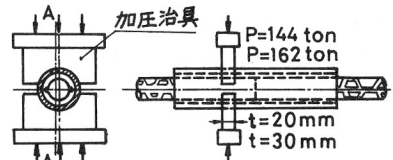


図-1(2). 冷間加工の加圧方法



写真-1. 冷間スリープ A-A 切断面

表-1. 供試材の機械的性質

| 材 料 | 材 質 | 降伏点 $\sigma_y (\text{kg/mm}^2)$ | 引張強さ $\sigma_n (\text{kg/mm}^2)$ | 伸 び (%) |
|----------|------|------------------------------------|-------------------------------------|------------|
| スミバーD51 | SD85 | 39.0 | 59.8 | 26.7 |
| スリープ(熱間) | 軟鋼 | — | — | — |
| スリープ(冷間) | 軟鋼 | 30.4 | 50.0 | 39.0 |

3. 引張試験結果

前述した継手を 200 トン万能試験機にくみ込み破壊するまで静的に加力し、継手を含む鉄筋の伸び、スリーブ外面のひずみ分布をそれぞれダイアルゲージ、ストレンジージにて測定した。1 例を図-2 に示す。

破壊の様子を写真-2 に、実験結果を図-3、表-2 に示した。

これらの実験結果から以下のことが判明した。

3.1. 熱間スリーブの場合：スリーブが短かい $\ell = 2d$ では鉄筋の降伏荷重以下でフシとスリーブとの間でスベリ破壊が生じ、鉄筋の全強を伝達し得なかった。

それ以外の $\ell = 4d \sim 8d$ ではすべて降伏荷重以上の強度を有し、いづれもスリーブ中央が引張破壊した。なお初期スベリはいづれの場合にも認められなかった。

3.2. 冷間スリーブの場合：2 供試体とも継手以外の鉄筋が引張破壊した。しかし、降伏荷重近くになるとわずかにスベリが認められた（図-2）。なお、ひずみ分布の測定結果によると鉄筋が降伏してもスリーブは降伏しておらず、スリーブ断面積 33.43 cm² はやや過大であったと考えられる。

4. 結 言

全く新らしい機械的継手として鋼管の塑性加工を利用した

スリーブ継手を熱間および冷間で加工し、その引張試験を行なった。

その結果、鉄筋の全強を伝達するに必要なスリーブ長とその断面積に関する 2、3 の知見を得た。



写真-2 热間スリーブの破壊

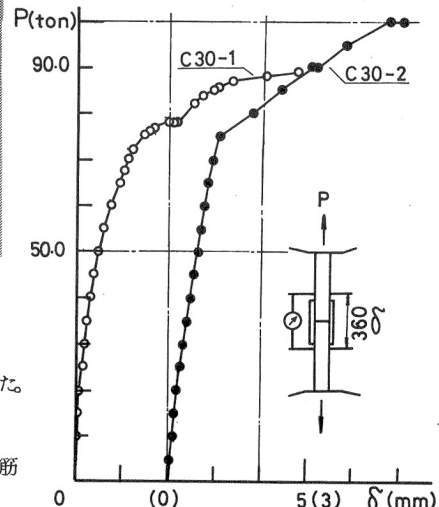


図-2. 荷重一伸び曲線(冷間)

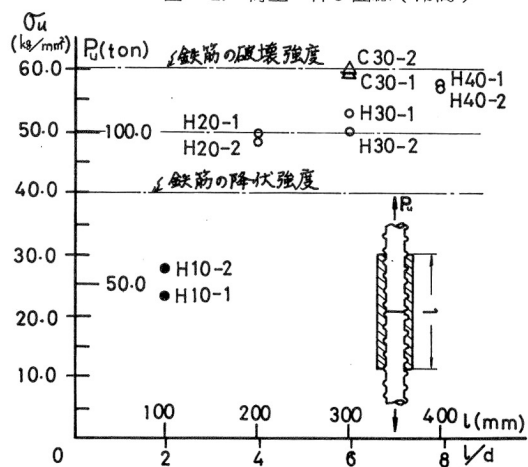


図-3. 破壊強度とスリーブ長さ

表-2. 引張試験結果

| 供試体 記号 | 加圧前スリーブ | | 製造 方法 | 加圧力 (t/cm) | 破壊時 | | | 破壊形式 |
|-----------|---------|-----------------------|----------|---------------|---------|-------------------------|------|---------------|
| | 長さ(cm) | 断面積(cm ²) | | | 荷重(ton) | 応力(kg/mm ²) | 比(%) | |
| H10-1 | 10.0 | 23.56 | 熱間 | 60 以下 | 45.8 | 22.6 | 38 | スベリ破壊 |
| H10-2 | " | " | | " | 50.0 | 27.1 | 45 | |
| H20-1 | 20.0 | " | 熱間 | 80 以下 | 99.5 | 49.0 | 82 | スリーブの 引張破壊 |
| H20-2 | " | " | | " | 96.0 | 47.8 | 79 | |
| H30-1 | 30.0 | " | 冷間 | 20 以下 | 102.2 | 50.4 | 84 | |
| H30-2 | " | " | | " | 99.8 | 49.2 | 82 | |
| H40-1 | 40.0 | " | 冷間 | 15 以下 | 115.8 | 57.1 | 96 | |
| H40-2 | " | " | | " | 114.4 | 56.4 | 94 | |
| C30-1 | 30.0 | 33.43 | 冷間 | 8.0 | 120.0 | 59.2 | 99 | 鉄筋の 引張破壊 |
| C30-2 | " | " | | " | 6.0 | 121.8 | 59.8 | |

(注) * D51 の公称断面積 20.27 cm² で割った値である。